На правах рукописи

### Леньшина Нина Александровна

# СИНТЕЗ И МОДИФИКАЦИЯ ПОРИСТЫХ И БЛОЧНЫХ ПОЛИМЕРНЫХ МАТРИЦ ПОД ДЕЙСТВИЕМ ВИДИМОГО ИЗЛУЧЕНИЯ С ИСПОЛЬЗОВАНИЕМ *О*-ХИНОНОВ В КАЧЕСТВЕ ФОТО-АКТИВНЫХ КОМПОНЕНТОВ

02.00.06 – высокомолекулярные соединения (химические науки)

АВТОРЕФЕРАТ диссертации на соискание ученой степени кандидата химических наук

Нижний Новгород 2019 Работа выполнена в Федеральном государственном бюджетном учреждении науки Институте металлоорганической химии им. Г.А. Разуваева Российской академии наук

Научный Чесноков Сергей Артурович

руководитель: доктор химических наук

Официальные Ильин Александр Алексеевич

оппоненты: доктор химических наук, профессор,

Федеральное государственное бюджетное образовательное учреждение высшего образования «Ярославский государственный технический университет», заведующий кафедрой химической технологии органических покрытий

#### Курский Юрий Алексеевич

доктор химических наук, профессор,

Федеральное государственное бюджетное образовательное учреждение высшего образования «Нижегородский государственный технический университет им. Р.Е. Алексеева», профессор кафедры технологии электрохимических производств и химии органических веществ

**Ведущая** Федеральное государственное бюджетное учреждение науки **организация:** «Институт проблем химической физики Российской академии наук»

Защита состоится «28» июня 2019 г. в  $14^{00}$  на заседании диссертационного совета Д 999.130.02 на базе ННГУ им. Н.И. Лобачевского и Института металлоорганической химии им. Г.А. Разуваева РАН по адресу: г. Нижний Новгород, 603950, ГСП-20, пр. Гагарина 23.

С диссертацией можно ознакомиться на сайте https://diss.unn.ru/files/2019/922/diss-Lenshina-922.pdf и в библиотеке Национального исследовательского Нижегородского государственного университета им. Н. И. Лобачевского.

Автореферат разослан «» 20	1	9			J	J	J								•	,	,	,	,	1	1	1	1	1	1	1	,	,	,	,	,	,	,	,	,	,	,	,	,	1	1	7	>	7					-																																																															L	I	J		,	J	Ĺ	١	•	_	4	4		,																					
----------------------------	---	---	--	--	---	---	---	--	--	--	--	--	--	--	---	---	---	---	---	---	---	---	---	---	---	---	---	---	---	---	---	---	---	---	---	---	---	---	---	---	---	---	---	---	--	--	--	--	---	--	--	--	--	--	--	--	--	--	--	--	--	--	--	--	--	--	--	--	--	--	--	--	--	--	--	--	--	--	--	--	--	--	--	--	--	--	--	--	--	--	--	--	--	--	--	--	--	--	--	--	--	--	--	--	--	--	--	--	--	--	--	---	---	---	--	---	---	---	---	---	---	---	---	--	---	--	--	--	--	--	--	--	--	--	--	--	--	--	--	--	--	--	--	--	--	--

Ученый секретарь диссертационного совета, доктор химических наук

Tynqua

А.В. Гущин

#### ОБЩАЯ ХАРАКТЕРИСТИКА РАБОТЫ

**Актуальность темы исследования.** Получение функционализированных полимеров и полимерных материалов является одним из активно развивающихся направлений полимерной химии, постоянно ищущей новые методы и приемы для решения разнообразных задач. Особый интерес представляют фотоактивные соединения, использование которых позволяет синтезировать новые функционализированные полимеры И осуществлять локальную оптически управляемую функционализацию полимерных материалов. Перспективными для использования в качестве таких фотоактивных соединений являются о-хиноны. оспособны к фотовосстановлению до пирокатехинов. о-Хиноны пирокатехины образуют металлокомплексы, о различных свойствах которых накоплен значительный объём информации, создающий задел для получения на их основе материалов c ценными свойствами (магнитными, оптическими, абсорбционными и др.). При этом механизмы образования металлокомплексов из охинонов и пирокатехинов принципиально различны. Это позволяет светом формировать в о-хинон-содержащем полимерном материале области с заданным соотношением о-хинона и пирокатехина и далее получать металлосодержащие, в том числе, градиентные гетерометаллические полимеры. Кроме того, в настоящее время распространенным способом вторичной функционализации поверхности полимерных материалов является прививочная полимеризации, инициируемая УФ-излучением. Это позволяет получать модифицированные поверхности с заданным рисунком различных функциональных зон, что является важной задачей при изготовлении устройств, применяемых в микробиологии и микрофлюидике. В то же время, УФинициирование определяет и недостатки данного метода: ограничение процесса фотополимеризации тонкими слоями (~ 0.1 мм), необходимость использования специального оборудования и УФ-прозрачных матриц; отсутствие поглощения реагентов в спектральной области УФ-диапазона, совпадающей с «рабочей» областью фотоинициатора, ограничение на использование метода в биомедицине и при использовании нестойких к УФ реагентов. Эти недостатки могут быть преодолены при использовании фотоинициаторов чувствительных к видимому излучению. Использование инициаторов видимого диапазона делает возможным полимеризацию толщиной миллиметров, перестраиваемых слоях несколько применение

компьютерных масок, генерируемых стандартным проекционным оборудованием. Это же относится и к процессам получения металлсодержащих полимерных материалов. К настоящему времени в литературе имеется ограниченное число публикаций по инициируемым видимым излучением способам получения металлсодержащих полимеров и поверхностно-инициируемой полимеризации. Поэтому поиск фотоактивных соединений, способных инициировать эти процессы под действием видимого излучения, является актуальной задачей.

работы. диссертационной Разработка получения методов функционализированных пористых И блочных полимерных матриц из способности диметакриловых олигомеров cиспользованием О-ХИНОНОВ фотохимическим превращениям под действием видимого излучения. Сравнение реакционной способности о-хинон- и катехолатсодержащих функциональных групп в составе молекул мономеров и полимеров в растворе, в полимерном блоке и на поверхности пор.

В связи с поставленной целью работы решались следующие задачи:

- 1. Исследование процесса одностадийного синтеза методом фотополимеризации инициируемой системой *о*-хинон амин пористых полимеров с поверхностью функционализированной гидроксильными группами; исследование реакций вторичной функционализации поверхности *о*-хиноновыми фрагментами и затем катехолатными комплексами сурьмы.
- 2. Сравнительные исследования реакционной способности *о*-хиноновых фрагментов и катехолатных комплексов сурьмы на поверхности пор, в полимерном блоке и в молекулярном растворе соответствующих мономеров и полимеров.
- 3. Исследование условий избирательного введения металлов в *о*-хинонсодержащие сополимерные плёнки, основанное на реакции фотовосстановления *о*-хинонового фрагмента.
- 4. Исследование активности 9,10-фенантренхинона в реакции отрыва атома водорода под действием видимого излучения от пористых полимерных матриц из диметакриловых олигомеров различной природы.
- 5. Нахождение условий осуществления оптически управляемой гидрофобизации пористых полимерных матриц из диметакриловых олигомеров с использованием реакции фотовосстановления 9,10-фенантренхинона.

Объекты и предмет исследования. Мономеры и полимеры: диметакрилаты ДМЭГ, ТГМ-3, ДМПЭГ-550, ОКМ-2 и МДФ-2; ГЭМА; *о*-хинонметакрилат и полихинонметакрилат; блочные и пористые полимерные монолиты на их основе. Фотоактивные компоненты: 9,10-фенантренхинон, *о*-бензохиноновые фрагменты в молекулах хинонметакрилата, полихинонметакрилата и сополимеров хинонметакрилата с ГЭМА, ДМПЭГ-550 и ОКМ-2.

## <u>Научная новизна работы, теоретическая и практическая значимость</u> работы заключается в следующем:

- 1. Впервые с использованием фотоинициирующей системы o-хинон амин получен сурьмасодержащий пористый монолитный полимерный материал, в котором комплексы сурьмы на поверхности полимера обладают способностью К количественному обратимому присоединению молекулярного кислорода co скоростью, близкой к скорости процесса в растворе.
- 2. Установлено, что реакции фотовосстановления под действием видимого излучения 3,6-ди-*трет*-бутил-*о*-бензохиноновых фрагментов на поверхности пор, в полимерном блоке и в растворах *о*-хинонсодержащего мономера и его полимера проходят с близкими по величине эффективными константами скоростей реакций.
- 3. Получен фоточувствительный сополимерный материал на основе *о*-хинонметакрилата, в объём которого введены комплексы молибдена и сурьмы в соотношении, задаваемом фотолитически.
- 4. Показано, что сшитые полимеры из ДМЭГ, ТГМ-3, ОКМ-2 и МДФ-2, образующие поверхность пор выступают донорами водорода для фотовозбуждённой видимым излучением молекулы 9,10-фенантренхинона. Установлено, что эффективная константа скорости фотовосстановления 9,10-фенантренхинона в порах не зависит от природы диметакрилата и размера пор в пределах десятки сотни нанометров.
- 5. Разработан способ локальной оптически управляемой гидрофобизации под действием видимого излучения поверхности пористых полидиметакрилатов с использованием 9,10-фенантренхинона в качестве фотоинициатора процесса. Получены полимеры, для которых краевой угол смачивания водой  $\theta$ = 150°. В пористом материале с использованием стандартной проекционной аппаратуры

получена «решётка» с минимальной шириной гидрофобного и гидрофильного участков 30 мкм.

#### На защиту выносятся следующие положения:

- Экспериментальные данные о получении с использованием метода фотополимеризации и инициирующей системы «*o*-хинон амин» полимерных пористых монолитов с привитыми на поверхность пор комплексами катехолата трифенилсурьмы и изучении кинетики обратимого присоединяет молекулярного кислорода пористыми полимерами и комплексами катехолата трифенилсурьмы в растворе.
- Экспериментальные данные о сравнении кинетики прохождения реакции фотовосстановлении 3,6-ди-*трет*-бутил-*о*-бензохиноновых фрагментов в присутствии N,N-диметиланилинов на поверхности пор, в полимерном блоке и в растворах хинонсодержащего мономера и его полимера.
- Экспериментальные данные о кинетике фотовосстановления 9,10-фенантренхинона в объёме пор сшитых полимеров из диметакрилатов ДМЗГ, ТГМ-3, ОКМ-2 и МДФ-2, размер которых варьируется от десятков до сотен нанометров.
- Экспериментальные данные о получении сополимерного материала на основе o-хинонметакрилата с оптически заданным соотношением металлокомплексов Mo(VI) и Sb(V).
- Экспериментальные данные о проведении локальной оптически управляемой гидрофобизация поверхности пор полидиметакрилатов на основе реакции фотовосстановления 9,10-фенантренхинона.

<u>Личный вклад автора.</u> Автор принимал участие во всех этапах диссертационной работы, включая постановку целей и задач исследования, планирование и выполнение экспериментов, анализ и интерпретацию полученных данных, оформление и подготовку публикаций по результатам исследований. Автор выражает искреннюю благодарность сотрудникам ИМХ РАН, принимавшим участие в работе и обсуждении результатов: Арсеньеву М.В. (регистрация спектров ЯМР), к.х.н. Батенькину М.А. (АСМ-исследования), к.х.н. Куликовой Т.И (определению величин удельных поверхностей), к.ф.-м. н. Полуштайцеву Ю.В. (оптические эксперименты), к.х.н. Хамалетдиновой Н.М. (регистрация ИК-спектров), Чулковой Т.И. (элементный анализ).

Электронная Методы исследования. спектроскопия (кинетические И фотохимические исследования); атомно-силовая микроскопия (качественная количественная оценка пористой структуры полимеров); тепловая десорбция азота в рамках метода БЭТ (определение удельной поверхности пористых полимеров); метод (определение смачивания); ЯМР-спектроскопия, капли углов спектроскопия И элементный анализ (подтверждение строения полученных соединений).

Степень достоверности и апробация результатов. Основное содержание работы опубликовано в 4 статьях и 7 тезисах докладов. Результаты исследований были представлены на международных конференциях: Шестая всероссийская Каргинская конференции «Полимеры - 2014» (г. Москва, 2014); Х, ХІ и ХІІ Санкт-Петербургской конференции молодых ученых «Современные проблемы науки о полимерах» (г. Санкт-Петербург, 2014, 2015 и 2016), V Международная конференцияшкола по химии и физикохимии олигомеров «Олигомеры 2015» (г. Волгоград, 2015), на XVIII и ХІХ Нижегородских сессиях молодых ученых (2013 и 2014 гг.), а также на семинарах в ИМХ РАН.

Структура диссертации. Диссертационная работа состоит из введения, литературного обзора, обсуждения результатов, экспериментальной части, выводов и списка цитируемой литературы из 234 наименований. Работа изложена на 133 страницах машинописного текста и включает 5 таблиц, 34 схем и 47 рисунков.

Изложенный материал и полученные результаты соответствуют пунктам 2, 4, 9 паспорта специальности 02.00.06 – высокомолекулярные соединения.

**Работа выполнена** при финансовой поддержке грантов РФФИ: 13-03-97064-р-поволжье-а, 13-03-12225-офи-м, 14-03-31256-мол-а, 15-43-02603-р-поволжье-а, 15-33-20858-мол а вед.

#### ОСНОВНОЕ СОДЕРЖАНИЕ РАБОТЫ

На Рисунке 1 приведенные формулы соединений, являющихся объектами исследования в данной работе: o-хиноны – 3,6-ди-mpem-бутил-o-бензохинон (3,6-БХ), хинонметакрилат 2,5-ди-mpem-бутил-3,4-диоксициклогекса-1,5-диенил метакрилат (ХМ), его полимер (поли-ХМ), 9,10-фенантренхинон (ФХ); олигоэфиракрилаты: диметакрилаты этиленгликоля (ДМЭГ), триэтиленгликоля (ТГМ-3) и полиэтиленгликоля (ДМПЭГ-550);  $\alpha$ , $\omega$ -бис-(метакрилоилоксиэтилен-

оксикарбонилокси)этиленоксиэтилен (ОКМ-2),  $\alpha$ -метакрилоил- $\omega$ -метакрилоил-диэтиленгликольокси-олиг(диэтиленгликольфталат) (МДФ-2); функционализирующие мономеры: изодецилметакрилат (ИДМА) и 2-гидроксиэтил метакрилат (ГЭМА).

Рисунок 1. Объекты исследования.

### 1. Синтез и модификация полимерных материалов, содержащих 3,6-ди*трет*-бутил-*o*-бензохиноновый фрагмент

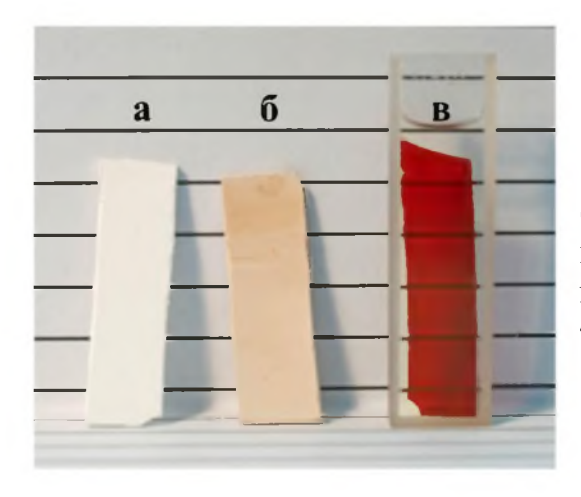
Для синтеза пористых полимеров с поверхностью пор, функционализированной хиноновыми фрагментами, использовали двухстадийный метод (Схема 1).

#### Схема 1.

Первая стадия – формирование пористой матрицы с этилгидроксильными группами на поверхности (Схема 1-а) фотополимеризацией видимым излучением смеси диметакрилата ОКМ-2, ГЭМА и метанола с фотоинициирующей системой «хинон – амин». Облучение видимым светом исходно прозрачной композиции

зелёного цвета в форме из двух силикатных стёкол с демпфирующей прокладкой между ними приводит к отверждению композиции, сопровождающемуся её обесцвечиванием и помутнением. Удаление из полученного полимерного монолитного образца метанола приводит к образованию белого пористого сополимера.

Предложен механизм процесса, В соответствии которым фотополимеризации композиции менее активный мономер ГЭМА в процессе микрофазового расслоения при образовании пор преимущественно вытесняется из трёхмерной сетки границу «полимер полимерной на растворитель». Соответственно, на поверхности пор образуется сополимер ОКМ-2 и ГЭМА и полиГЭМА, которые функционализируют, таким образом, поверхность этилгидроксильными группами. Вторая стадия присоединение этилгидроксильным группам о-хиноновых фрагментов (Схема 1-б) по реакции алкоксилирования молекул 3,6-БХ и функционализация, таким образом, хиноновыми фрагментами поверхности пор. Установлено, что оптимальное содержание ГЭМА в композиции составляет 15 мас.%.



**Рисунок 2.** Фотографии пористых образцов: (а) сразу после изготовления; (б) после прививки на поверхность пор *о*хиноновых фрагментов на воздухе и (в) в толуоле.

Показатель преломления ( $n_D$ ) полиОКМ-2 равен 1.501. Помещение полученных пористых сополимерных образцов (h = 200 мкм) в толуол ( $n_D = 1.497$ ) делает их прозрачными (Рисунок 2-в). Сопоставление спектров поглощения модифицированного пористого сополимера со спектрами поглощения раствора ХМ и плёнки сополимера XM с ГЭМА и ДМПЭГ-550 (Рисунок 3) показывает, что образующийся после вторичной функционализации пористый полимер содержит 4алкокси-3,6-ди-трет-бутил-о-бензохиноновые фрагменты (как XMИ его сополимер).

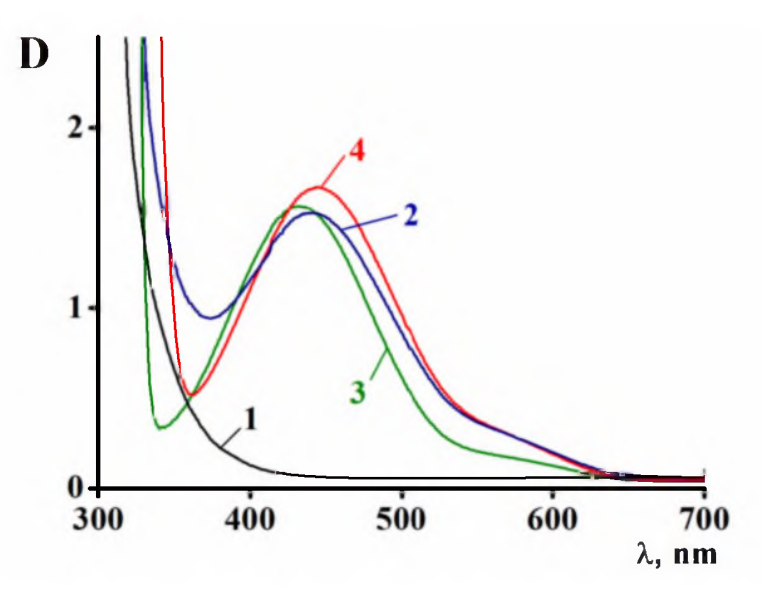


Рисунок 3. Электронные спектры поглощения: пористый полимер из композиции ОКМ-2 – метанол – ГЭМА до (1) и после функционализации o-хиноном (2) (h = 200 мкм, толуол); хинонметакрилат (3) (8×10<sup>-4</sup> моль/л, 1 = 1 см, толуол) и сополимер хинонметакрилата с ГЭМА и ДМПЭГ-550 (4) (плёнка, h = 200 мкм).

Наличие мономера, полимера, плёночного и пористого полимерных материалов, содержащих одинаковый *о*-бензохиноновый фрагмент, позволяет провести сравнение реакционной способности *о*-бензохинонового фрагмента в растворе, полимерной матрице и в привитом слое на поверхности пор.

### Фотовосстановление о-бензохинонового фрагмента в XM, поли-XM и на поверхности пор полимерной матрицы

Облучение видимым светом растворов XM и поли-XM в органических растворителях (толуол, ТГФ, 1,2-дихлорбензол) в присутствии третичных аминов приводит к обесцвечиванию растворов. Методом ЯМР-спектроскопии установлено, что XM и поли-XM фотовосстанавливаются до пирокатехина и полипирокатехина, соответственно (Схема 2).

Для получения в одинаковых условиях величин констант скорости фотовосстановления  $k_{\rm H}$  o-хиноновых фрагментов в мономере XM, в поли-XM и на

поверхности пор в качестве растворителя использовали смесь ТГФ с 1,2-ДХБ в соотношении 40:60 (об.%). В такой смеси растворимы мономер и полимер, и она является иммерсионной жидкостью для пористого полимера, что позволяет спектрофотометрически исследовать кинетику фотовосстановления o-бензохиноновых фрагментов на поверхности пор.

При переходе от мономера XM к полимеру поли-XM скорость реакции фотовосстановления o-бензохиноновых фрагментов в присутствии аминов уменьшается. Так, при фотовосстановлении XM в смеси ТГФ - 1,2-ДХБ в присутствии p-CH<sub>3</sub>-DMA (мольное соотношение 1:50) величина  $k_{\rm H}$  составляет  $17.6\times 10^{-4}~{\rm c}^{-1}$ , для поли-XM (MM  $\sim 32\times 10^3$ )  $k_{\rm H}=7.6\times 10^{-4}~{\rm c}^{-1}$ . Уменьшение величины  $k_{\rm H}$  более чем в 2 раза при переходе от раствора мономера к раствору полимера, вероятно, связано с затруднением подхода молекул амина к фотовозбуждённым o-хиноновым фрагментам в полимерной макромолекуле.

Показатель преломления смеси ТГФ - 1,2-ДХБ (40 : 60 об.%) близок к показателю преломления полимерной матрицы ( $n_{\rm D}\sim 1.5$ ). Поэтому при заполнении пор указанной смесью растворителей пористый полимер становится прозрачным, и это позволяет также спектрофотометрически исследовать кинетику фотовосстановления o-бензохиноновых фрагментов в поверхностном слое пор. На Рисунке 4 приведены изменения спектра поглощения o-хинонсодержащего пористого полимера в растворе p-CH<sub>3</sub>-DMA в смеси ТГФ - 1,2-ДХБ. Как и в растворах ХМ и поли-ХМ, наблюдается убывание интенсивности полосы поглощения o-хинонового фрагмента в области 435 нм по мере увеличения времени облучения.

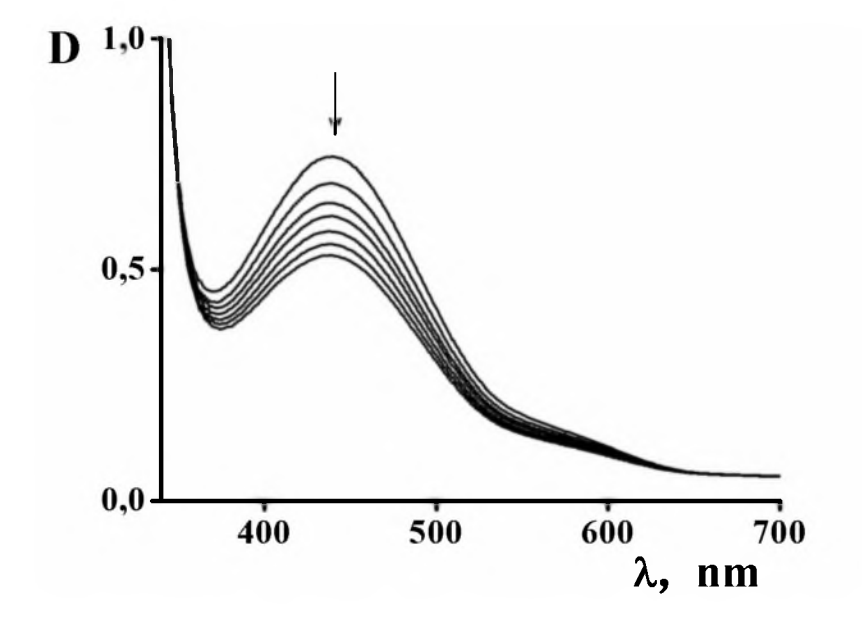


Рисунок 4. Спектральные наблюдаемые изменения, облучении при бензохинонсодержащего пористого полимера (h = 200 мкм) в растворе в смеси  $T\Gamma\Phi$  – 1,2-ДХБ (40 : 60 об.%) в присутствии p-CH<sub>3</sub>-DMA (воздух, лампа KГМ-24-150, облучение через равные промежутки времени 180 с).

Для исследования кинетики фотовосстановления o-бензохиноновых фрагментов в плёночных сополимерах термополимеризацией были получены полимерные плёнки двух композиций: (I) — 1.6 весовые части (в.ч.) XM на 50 в.ч. ДМПЭГ-550 и 50 в.ч. ГЭМА; (II) — 1.6 в.ч. XM на 50 в.ч. ОКМ-2 и 50 в.ч. ГЭМА (h = 200 мкм). Плёнки помещали в раствор ТГФ в присутствии аминов, облучали их на воздухе светом лампы КГМ-24-150. В Таблице 1 приведены сравнительные значения  $k_{\rm H}$  o-бензохиноновых фрагментов в мономере, сополимерных плёнках и на поверхности пор.

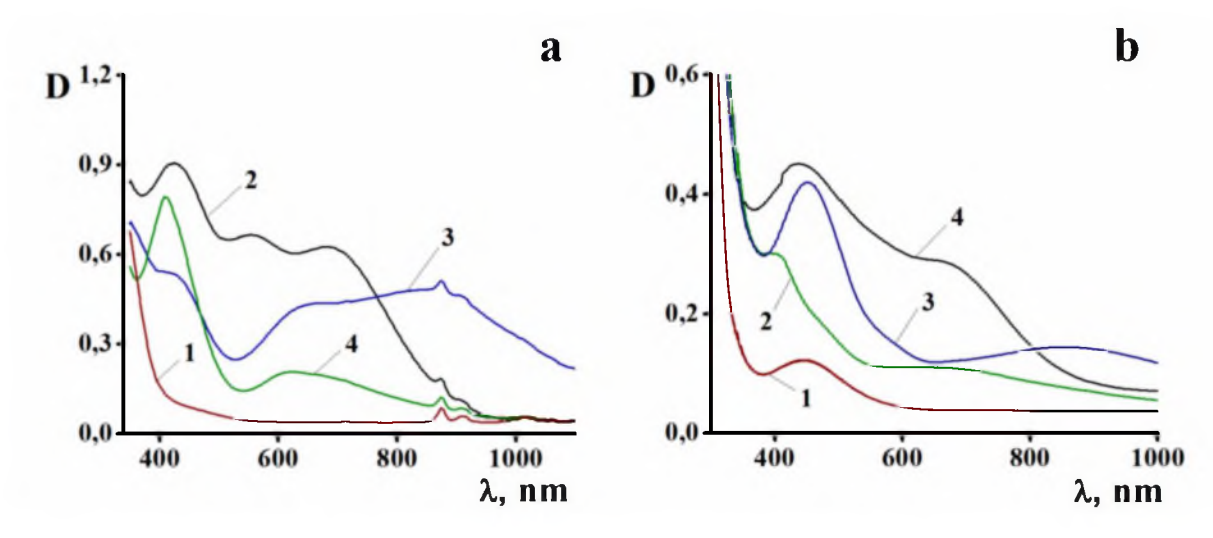
**Таблица 1.** Величины  $k_{\rm H}$  при фотовосстановлении o-бензохиноновых фрагментов в мономере, сополимерных плёнках и на поверхности пор в присутствии DMA и p-CH<sub>3</sub>-DMA в мольном соотношении «хинон / амин» = 1:50.

		$k_H \times 1$	10 <sup>4</sup> , c <sup>-1</sup>	
Амин	Раствор ХМ	Плёнка сопо.	лимера (ТГФ)	Поры
	$(T\Gamma\Phi/1,2-$ ДХБ = 2 : 3)	композиция (I)	композиция (II)	$(T\Gamma\Phi/1,2$ - ДХБ = 2 : 3)
p-CH <sub>3</sub> -DMA	17.6	3.4	0.5	11.0
DMA	3.3	3.0	0.6	10.0

Видно, что в плёнках сополимеров и на поверхности пор влияние природы амина незначительно. Нивелирование влияния природы амина на  $k_H$  может быть связано с ограничением диффузии молекул амина к фотовозбуждённым фрагментам o-бензохинона и увеличением вероятности протекания реакции фотовосстановления за счёт атомов водорода полимерной матрицы. Для эффективного переноса протона реагирующие молекулы должны расположиться в ион-радикальной паре так, чтобы карбонильная группа находилась под аминогруппой на минимальном расстоянии. Наблюдаемая низкая эффективность фотовосстановления o-хиноновых фрагментов в плёнке может быть связана как с уменьшением времени жизни возбужденной молекулы o-хинона, так и с менее выгодной конфигурацией переходного состояния. Наблюдаемое в пористом полимере быстрое фотовосстановление хиноновых фрагментов может быть связано с сорбцией полярных молекул амина на полярной поверхности пор (фрагменты XM и гидроксиэтильные фрагменты).

#### Синтез сурьма- и молибденсодержащих полимеров

Известно, что при обработке толуольных растворов 3,5-ди-*трет*-бутилпирокатехина водными растворами некоторых солей металлов в органической фазе образуются металлокомплексы соответствующих катехолатов или семихинонов. Сопоставление спектров комплексов солей (NH<sub>4</sub>)<sub>2</sub>MoO<sub>4</sub>, NH<sub>4</sub>VO<sub>3</sub> и (NH<sub>4</sub>)<sub>2</sub>Fe(SO<sub>4</sub>)<sub>2</sub> с продуктами фотовосстановления XM в толуоле (Рисунок 5-а) и спектров поглощения плёнки, полученной из композиции (II), после фотовосстановления в ней *о*-хиноновых фрагментов и обработки водными растворами тех же солей в течение 1 часа (Рисунок 5-б) говорит об образовании металлокомплексов в плёнке.

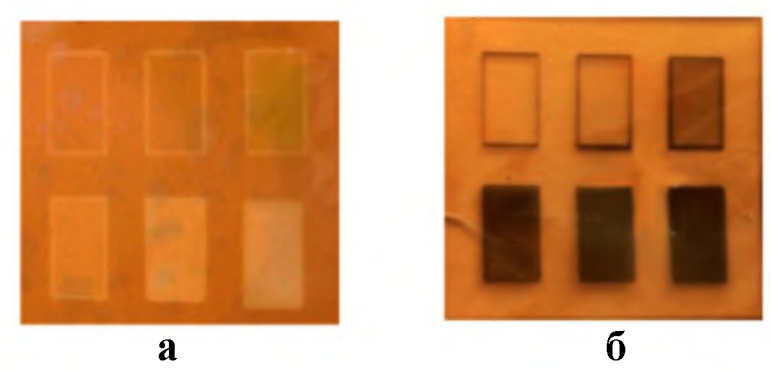


**Рисунок 5.** Спектры поглощения раствора XM в толуоле (а) и полимерных плёнок (сополимер XM – ДМПЭГ-550 – ГЭМА, h = 200 мкм) (b): после облучения (в присутствие DMA, лампа КГМ-24-150, воздух) (1); после обработки облучённых образцов водными растворами (NH<sub>4</sub>)<sub>2</sub>MoO<sub>4</sub> (2), NH<sub>4</sub>VO<sub>3</sub> (3), (NH<sub>4</sub>)<sub>2</sub>Fe(SO<sub>4</sub>)<sub>2</sub> (4).

Не полная идентичность спектров может объясняться тем, что по реакции пирокатехина с солями металлов возможно образование сразу нескольких комплексов, различающихся числом атомов кислорода, наличием в координационной сфере молекул растворителя, амина, а также катехолатной или семихиноновой формой восстановленного o-бензохинонового фрагмента. Очевидно, что в растворе и в полимерной плёнке соотношение между металлокомплексами разного строения будет различным. Наблюдаемое при этом нарастание полосы поглощения o-бензохинонового фрагмента ( $\lambda_{\text{max}} = 435\,$  нм), возможно, связано с частичным окислением пирокатехина при проведении процессов на воздухе.

При облучении полимерной плёнки через фотошаблон с набором «окон», в которых интенсивность актиничного излучения, проходящего через каждое,

увеличивается в последовательности: 0, 0.2, 0.4, 0.6, 0.8, 1.0 видно, что с ростом интенсивности света увеличивается степень «выгорания» окраски полимера, связанной с наличием o-бензохиноновых фрагментов в полимере (Рисунок 6-а).



**Рисунок 6.** Фотографии плёнки  $XM - ДМПЭГ-550 - ГЭМА после облучения через фотошаблон (а) и после обработки водным раствором <math>(NH_4)_2MoO_4$  (б).

При обработке экспонированной плёнки в растворе молибдата аммония происходит последовательное увеличение оптической плотности изображения. Рост дозы актиничного излучения соответствует росту содержания металлокомплекса в облучённом участке полимерного слоя (Рисунок 6-б).

Фотовосстановлением половины o-бензохиноновых фрагментов на одном участке плёнки сополимера ХМ — ДМПЭГ-550 — ГЭМА и дальнейшей её обработке в водном растворе соли молибдата аммония и затем в деаэрированном растворе  $Ph_3Sb$  в ТГФ было реализовано введение в полимерную матрицу двух металлов — сурьмы и молибдена (Схема 3).

Спектр поглощения плёнки сразу после обработки в растворе  $Ph_3Sb$  содержит полосу поглощения молибденового комплекса в области 650 - 700 нм (Рисунок 7, спектр 1). Выдержка плёнки на воздухе приводит к нарастанию поглощения в синей и УФ-областях спектра (Рисунок 7, спектр 2). Вычитание спектра 1 из спектра 2 даёт

спектр 3, содержащий одну полосу поглощения с максимумом в области 380 - 390 нм, что соответствует спектру поглощения пероксидного комплекса трифенилсурьмы в полимере. После прогрева такой плёнки в инертной атмосфере в спектре поглощения плёнки спектр 2 превращается в спектр 1. После повторной выдержки плёнки на воздухе в спектре поглощения полимера спектр 1 снова меняется на спектр 2.

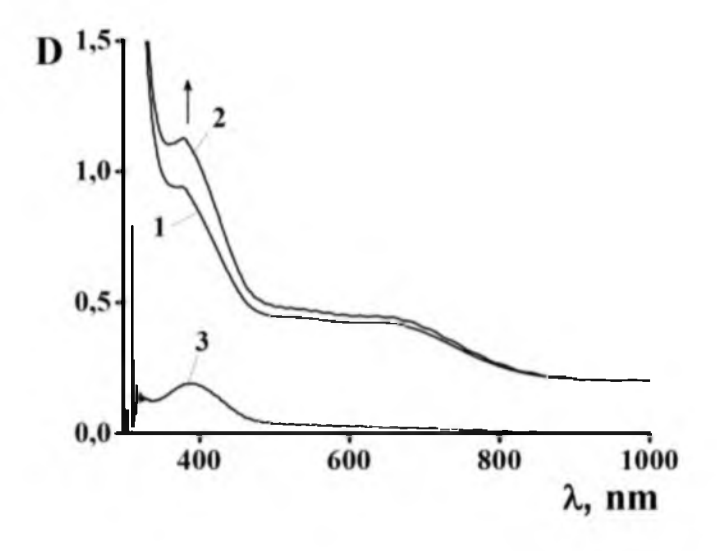


Рисунок 7. Спектры поглощения облучённой обработанной водным раствором  $(NH_4)_2MoO_4$ плёнки ДМПЭГ-550 - ГЭМА (h = 200)мкм): 1) после взаимодействия с Ph<sub>3</sub>Sb; 2) после выдержки материала воздухе, 3) на «расчетный» спектр, полученный вычитанием спектра 1 из спектра 2.

Такой подход дает принципиальную возможность получения полимерных материалов с оптически заданным распределением содержания одного или нескольких металлов.

# Получение кислородактивных полимерных катехолатных комплексов сурьмы на поверхности пор

Сурьмасодержащий пористый полимер (Схема 4-б) был получен обработкой хинонсодержащего пористого полимера раствором трифенилсурьмы в толуоле в инертной атмосфере.

В спектре поглощения наблюдается исчезновение полосы поглощения o-хинонового фрагмента  $\lambda_{\text{макс}} = 435$  нм (Рисунок 8, спектры 1 и 2). Введение в систему воздуха приводит к пожелтению полимера. В УФ-спектре появляется полоса

поглощения  $\lambda_{\text{макс}} = 390$  нм (Рисунок 8, спектр 3) спироэндопероксида трифенилсурьмы (Схема 5-в).

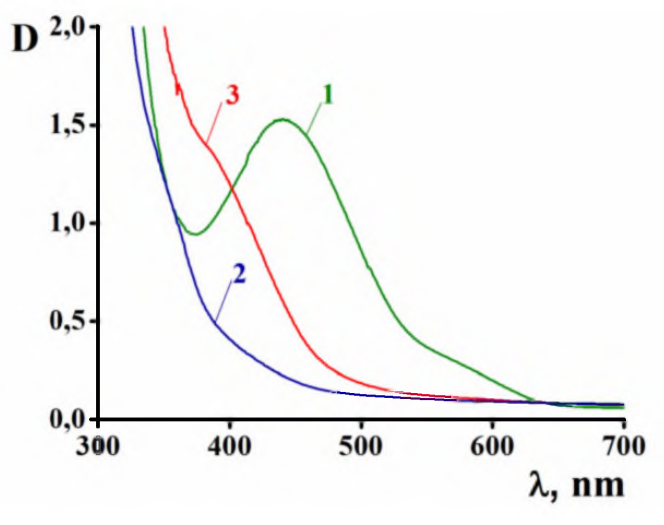
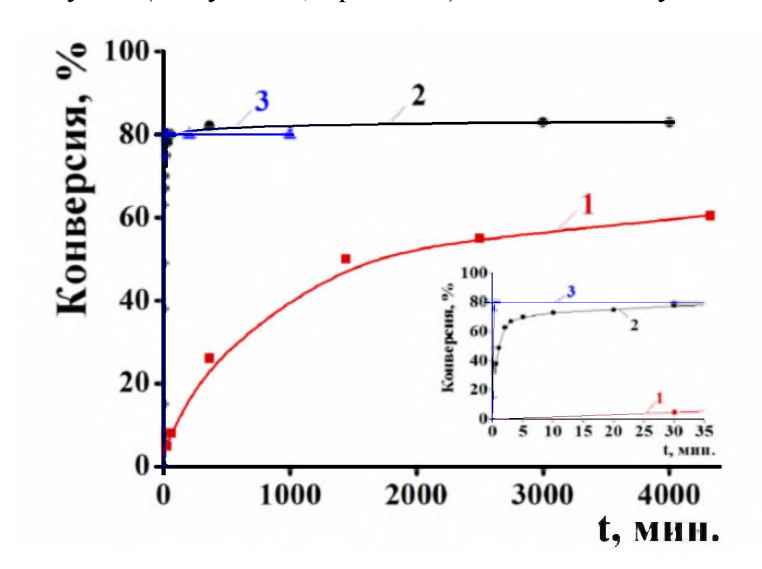


Рисунок 8. Спектры поглощения: 1) о-хинонсодержащего пористого полимера; 2) сурьмасодержащего полимера в инертной атмосфере; 3) сурьмасодержащего полимера через 5 мин выдержки на воздухе.

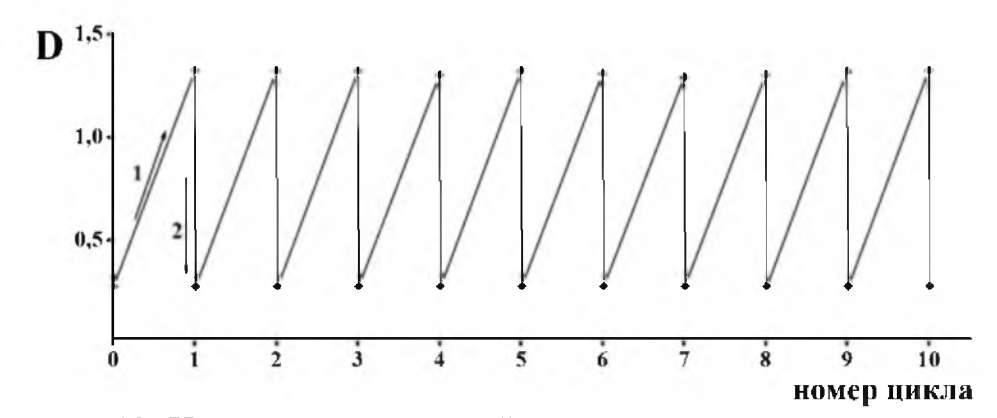
Кинетические кривые поглощения кислорода комплексом сурьмы, привитым на поверхность пор (Рисунок 9, кривая 2), и молекулярным комплексом в растворе толуола (Рисунок 9, кривая 3) близки между собой.



9. Рисунок Кинетические кривые поглощения кислорода катехолатным воздуха комплексом трифенилсурьмы в объёме полимерной матрицы (плёнка h = 200мкм) (кривая 1), поверхности пор (кривая 2) и толуольном растворе (кривая 3).

В обоих случаях предельная конверсия  $\sim 80\%$ . В растворе процесс поглощения кислорода молекулами комплекса завершается к 80 секунде. В пористом материале конверсия 80% достигается за 30 мин. Поглощение кислорода комплексом, встроенным в полимерную 3-х мерную сетку (Рисунок 9, кривая 1) идёт существенно медленнее. Конверсия 15 % в пористом и плёночном материалах достигается за 10 с и 150 минут, соответственно, т.е. различаются в 900 раз. Прогревание полимера при температуре 90°C с откачиванием в течении 30 мин приводит к обесцвечиванию полимера. На воздухе снова появляется полоса поглощения  $\lambda_{\text{макс}} = 390$  нм и т.д., что говорит об обратимости реакции присоединения кислорода. Для полученного

материала было проведено 10 циклов присоединения кислорода – деоксигенирования. Реакционная способность находящихся на поверхности пор полимера катехолатных комплексов сурьмы между первым и десятым циклом не изменяется (Рисунок 10).



**Рисунок 10.** Изменение оптической плотности пористого сурьмасодержащего полимера при  $\lambda$ =390 нм в цикле сорбции (1) – десорбции (2) кислорода в атмосфере воздуха.

Эти результаты означают, что в синтезированных полимерах соединения, привитые к поверхности пор, обладают реакционной способностью, сопоставимой с реакционной способностью данных соединений в растворах.

# 2. Синтез и фотогндрофобнзация пористых полимеров с использованием реакции фотовосстановления 9,10-фенантренхинона.

Под действием видимого света в присутствии метакрилатов и диметакрилатов ФХ способен фотовосстанавливаться и инициировать их свободнорадикальную полимеризацию. Инициирование происходит за счет радикалов, образующихся в результате реакции фотовосстановления ФХ, в соответствии с механизмом фотополимеризации виниловых мономеров бинарной инициирующей системой «карбонилсодержащее соединение – донор водорода». Было предположено, что облучение раствора ФХ в смеси диметакрилата с порообразующим компонентом должно приводить к образованию пористой полимерной структуры. Кроме того, проведение фотовосстановления ФХ в растворе в объёме пор должно сопровождаться возникновением углерод-центрированных радикалов, способных инициировать привитую полимеризацию на поверхности пор. При наличии в такой системе функционализирующего мономера он будет полимеризоваться и обеспечит заданную функционализацию поверхности пористого полимера (Схема 5).

Экспериментально с использованием ФХ как фотоинициатора были получены серии пористых полимерных монолитов толщиной 2 и 4 мм из композиций на основе диметакрилатов МДФ-2, ДМЭГ, ТГМ-3 и ОКМ-2 с метанолом, н-бутанолом, нгексанолом и н-октанолом в качестве порогенов. Для нахождения условий реализации процесса фотофункционализации поверхности пор в качестве модельного процесса была исследована фотогидрофобизация пористой матрицы за счёт образования полиалкилметакрилата в объёме и на поверхности пор, что проявляется, в частности, в изменении краевого угла смачивания полимера водой. Для нахождения условий функционализации поверхности пор исследована кинетика фотовосстановления ФХ (и, соответственно, фотогенерации свободнорадикальных центров на поверхности пор) в пористой матрице, насыщенной инертным растворителем. Процессы фотовосстановления ФХ и фотофункционализации в объёме пор полимерных монолитов проводили в среде иммерсионных жидкостей, состав которых был подобран в ходе специально выполненных экспериментов. При исследовании реакции фотовосстановления ФХ пористыми матрицами использовали смеси бензол – 1,2-ДХБ при следующих соотношениях (об.%): для полиДМЭГ и полиТГМ-3 – 60 : 40; для полиOKM-2-90:10; для поли $MД\Phi-2-23:77$ , соответственно. При исследовании фотогидрофобизации пористых матриц использовали смеси ИДМА и 1,2-ДХБ при следующих соотношениях (об.%): для полиДМЭГ и полиТГМ-3 - 25 : 75; для полиOKM-2-45:55; для поли $MД\Phi-2-5:95$ , соответственно.

Для определения влияния на  $k_{\rm H}$  природы полимерной цепи и характеристик пористых полимеров использованы пористые полимерные матрицы с размером пор от десятков до сотен нанометров. Установлено, что в порах полиДМЭГ, полиТГМ-3, полиОКМ-2 и полиМДФ-2 величина  $k_{\rm H}$  не зависит от природы диметакрилата, образующего стенки поры. Средние значения  $k_{\rm H}$  равны для полиДМЭГ –  $1.1 \times 10^3 \ {\rm c}^{-1}$ ; для полиТГМ-3 –  $1.2 \times 10^3 \ {\rm c}^{-1}$ ; для полиОКМ-2 –  $1.3 \times 10^3 \ {\rm c}^{-1}$ ; для полиМДФ-2 –  $1.3 \times 10^3 \ {\rm c}^{-1}$ ; для полиМДФ-2 –  $1.3 \times 10^3 \ {\rm c}^{-1}$ ; для полиМДФ-2 –  $1.3 \times 10^3 \ {\rm c}^{-1}$ ; для полиМДФ-2 –  $1.3 \times 10^3 \ {\rm c}^{-1}$ ; для полиМДФ-2 –  $1.3 \times 10^3 \ {\rm c}^{-1}$ ; для полиМДФ-2 –  $1.3 \times 10^3 \ {\rm c}^{-1}$ ; для полиМДФ-2 –  $1.3 \times 10^3 \ {\rm c}^{-1}$ ;

 $10^3$  с<sup>-1</sup>. Таким образом, в отличие от жидких мономеров и их растворов, на поверхности пор доступность -CH<sub>2</sub>- фрагментов всех четырёх мономеров одинакова. Кроме того, увеличение размера пор от десятков до сотен нанометров не оказывает влияния на величину  $k_{\rm H}$ . Время жизни возбуждённого триплетного состояния  $\Phi X$  т  $\sim 5 \times 10^{-4}$  с. За это время молекула должна успеть встретиться с молекулой донора водорода и прореагировать с ней. Из уравнения Эйнштейна – Смолуховского следует, что за  $\tau \sim 5 \times 10^{-4}$  с среднее смещение молекулы  $\Phi X$   $\Delta \sim 1200$  нм (принято, что коэффициент диффузии молекулы  $\Phi X$  в растворителе  $D = 1.5 \times 10^{-5}$  см²/с). Это означает, что в порах размером  $\sim 100$  нм все фотовозбуждённые молекулы  $\Phi X$  за время  $\tau$  успевают достичь стенки поры и вступить в реакцию фотовосстановления. Таким образом, пористые полимеры на основе ДМЭГ, ТГМ-3, ОКМ-2 и МДФ-2 являются донорами водорода для фотовозбуждённой молекулы  $\Phi X$ , что может быть использовано для фотогидрофобизации полимеров.

Для проведения фотогидрофобизации пластинку пористого полимера помещали в спектрофотометрическую кювету, заполненную гидрофобизирующим раствором, и экспонировали при освещённости 150 кЛк светом лампы КГМ-24-150. Далее образцы промывали ацетоном и хлороформом, сушили при 70°С и определяли краевой угол смачивания полимера водой ( $\theta$ ). На Рисунке 11 приведена зависимость  $\theta$  образца из ФПК состава МДФ-2 (50 мас.%) –  $\mu$ -октанол (50 мас.%) от концентрации ФХ в гидрофобизирующем растворе при различных временах экспонирования.

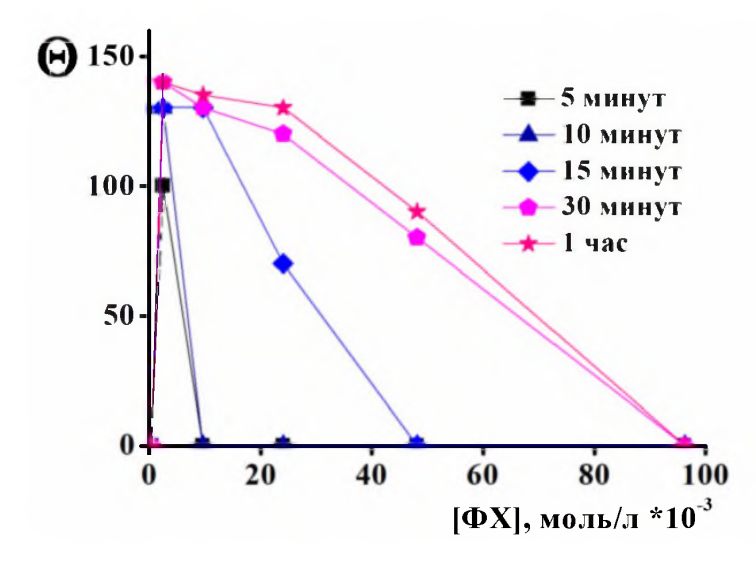


Рисунок 11. Зависимость краевого угла смачивания пористого полиМДФ-2 водой от концентрации ФХ в модифицирующем растворе при различном времени облучения полимера (мин): 1) 5; 2) 10; 3) 15; 4) 30 и 5) 60.

При  $[\Phi X] = 4.8 \times 10^{-4}$  моль/л вода впитывается в полимер, т.е. полимер не гидрофобен; при  $[\Phi X] = 2.4 \times 10^{-3}$  моль/л после 5 минут облучения  $\theta = 100^\circ$  и  $\theta = 135^\circ$ 

при облучении 30 минут. С увеличением концентрации  $\Phi X$  эффект уменьшается, что свидетельствует об ингибировании процесса избытком  $\Phi X$ , и при  $[\Phi X] = 96 \times 10^{-3}$  моль/л гидрофобизации поверхности образца не происходит. Аналогичные зависимости  $\theta = f([\Phi X])$  наблюдаются и для образцов из ОКМ-2, ДМЭГ и ТГМ-3.

Известно, что смачиваемость поверхности зависит не только от её химических свойств, но и от рельефа: для полимеров одного химического состава гидрофобные свойства увеличиваются при переходе от гладкой поверхности к пористым структурам. На Рисунке 12 приведена зависимость  $\theta$  фотогидрофобизированных образцов полимера на основе МДФ-2 от среднего размера неоднородностей на поверхности образцов. При увеличении размера неоднородностей от 0.3 до 0.7, 10 и 20 мкм величина  $\theta$  взрастает с 60° до 105, 135 и 148°, соответственно.

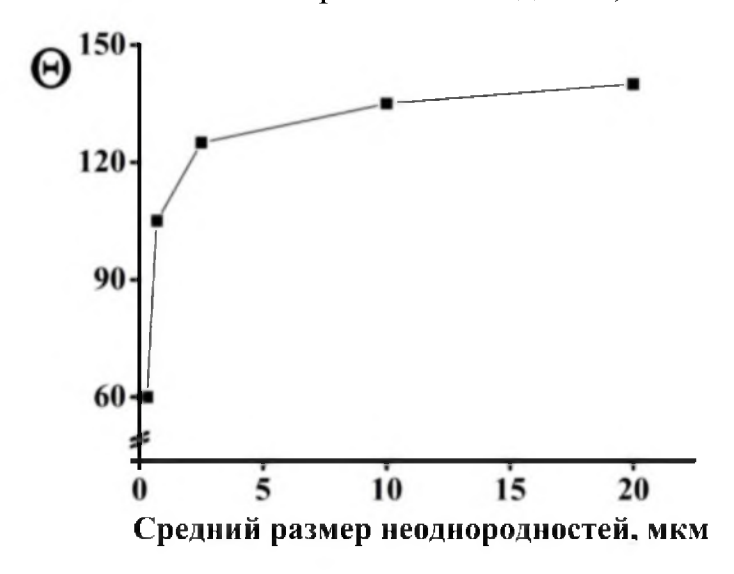


Рисунок 12. Зависимость угла смачивания поверхности гидрофобизированных пористых полимеров из полиМДФ-2 от среднего размера пор.

Локальная фотолитическая гидрофобизация пористых монолитов

Возможность осуществления фотогидрофобизации толстых пористых материалов видимым излучением делает возможной локальную гидрофобизацию образца с помощью стандартной проекционной аппаратуры. На Рисунке 13-а представлена фотография образца полиТГМ-3, толщиной 2 мм, в кювете сразу после облучения через фотошаблон в форме восьмиконечной звезды с толщиной луча 1 мм; облученная область полимера непрозрачна. На Рисунке 13-б — фотография образца после промывки в хлороформе, высушивания и обработки водным раствором тиоцианата железа(III). Необлучённая часть образца осталась гидрофильной и окрасилась водорастворимым красителем. Облучённая часть образца не окрасилась, следовательно, полимер в этой части образца стал гидрофобным, при этом форма

данной области на образце точно повторяет фотошаблон. На срезе образца видно, что функционализация проходит по всей его толщине (Рисунке 13-в).

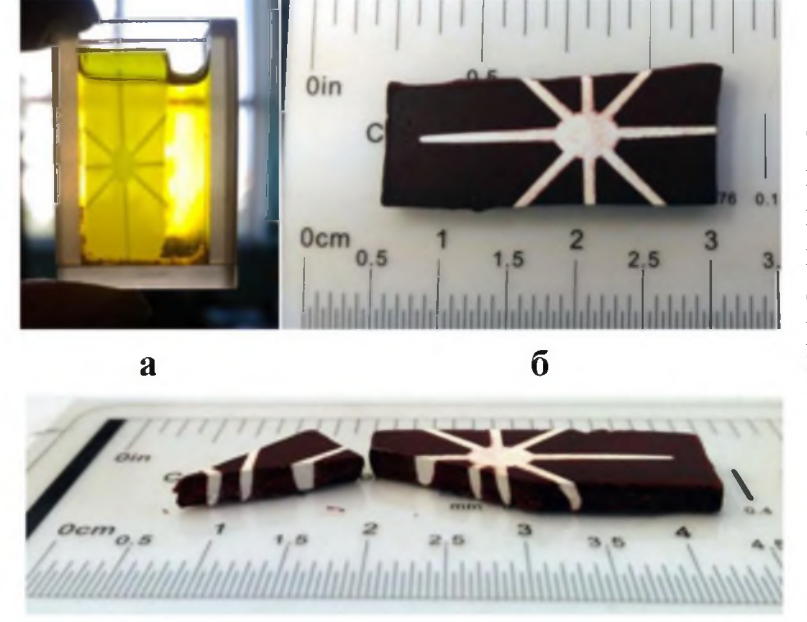
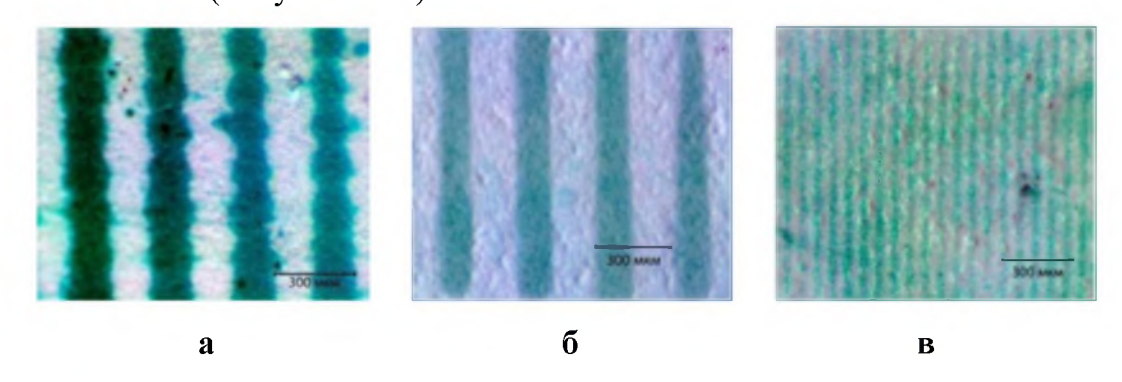


Рисунок 13. Фотогидрофобизация образца полиТГМ-3 толщиной 2 мм: (а) после экспонирования через маску в иммерсионной жидкости состава 1,2-ДХБ (75 об.%) -ИДМА (25 об.%),  $[\Phi X] = 2.4 \times 10^{-1}$ (проектор моль/л MP622c, I = 100 кЛк, 30 мин); (б) после пропитки В водном растворе тиоцианата железа(III); (в) разрезанный образец.

R

Для экспериментального определения разрешающей способности пористых полимерных монолитов при их локальной фотогидрофобизации на образец с помощью DLP проектора проецировали изображение решётки с чередующимися пробельными и чёрными полями заданной ширины. Использовали систему фокусировки, которая обеспечивала дополнительной разрешение полю изображения  $5 \times 5$  мм не хуже 900 лин/мм. Пористый образец помещали в кювету с раствором для гидрофобизации, экспонировали, промывали, сушили и обрабатывали в растворе бриллиантового зелёного. Фотографии образцов приведены на Рисунке 14. Образец на Рисунке 14-а получен с помощью проектора без дополнительной фокусировки. Минимальная ширина гидрофобизированной области, которая была получена – 30 мкм (Рисунок 14-в).



**Рисунок 14.** Фотографии образцов, полученных экспонированием через фотошаблоны с чередующимися освещенными и темными полосами с шириной полос 150 (a, б) и 30 (в) мкм и обработанных водным раствором бриллиантового зеленого.

#### Выводы

- 1. Предложен метод одностадийного синтеза под действием видимого излучения пористых полимерных монолитов с функционализированной поверхностью пор. Фотополимеризацией композиции диметакрилат ОКМ-2 метанол ГЭМА (инициатор о-хинон амин) получены пористые полимерные монолиты функционализированные алкоксигруппами. Из них синтезированы полимеры с о-хиноновыми фрагментами на поверхности пор и далее с комплексами катехолата трифенилсурьмы. Материал количественно и обратимо присоединяет кислород. Скорость абсорбции О2 пористым материалом в 900 раз выше, чем аналогичным плёночным материалом и сопоставима со скоростью процесса в растворе. Предельная конверсия комплекса в порах, как и в растворе, составляет 80%.
- Показано, что о-хиноновые фрагменты В хинонметакрилате полихинонметакрилате под действием видимого излучения в присутствии аминов восстанавливаются до моно- и полипирокатехинов. Установлено, что в присутствии N,N-диметаиланилинов эффективная константа скорости фотовосстановления  $k_{\rm H}$  oхиноновых фрагментов на поверхности пор полиОКМ-2 увеличивается с ростом электронодонорной способности амина. При этом, константы скорости фотовосстановления о-хиноновых фрагментов на поверхности пор полиОКМ-2 сопоставимы с константами скорости фотовосстановления о-хиноновых фрагментов в хинонметакрилате и полихинонметакрилате в растворах.
- 3. В плёнку сополимеров хинонметакрилата за счёт реакции фотовосстановления *о*-хинонового фрагмента введены Mo(VI), Fe(II), V(V). Получены молибденсодержащие полимерные плёнки, в которых содержание металлокомплекса определяется степенью фотовосстановления *о*-хинона. В объём сополимерного материала введены комплексы молибдена и сурьмы, соотношение между которыми задаётся фотолитически.
- 4. Установлено, что пористые полимеры на основе диметакрилатов ДМЭГ, ТГМ-3, ОКМ-2, МДФ-2 являются донорами водорода для фотовозбуждённой молекулы 9,10-фенантренхинона. В исследованном ряду полимеров эффективная константа скорости фотовосстановления 9,10-фенантренхинона в объёме пор не зависит от природы мономера и остаётся постоянной при изменении размера пор от десятков до сотен нанометров.

5. На основе реакции фотовосстановления 9,10-фенантренхинона впервые осуществлена локальная оптически управляемая объёмная гидрофобизация пористых полимерных монолитов толщиной до 4 мм. Прививочной фотополимеризацией *изо*-децилметакрилата проведена гидрофобизация полиДМЭГ, полиТГМ-3, полиОКМ-2 и полиМДФ-2. Эффект максимален для полиМДФ-2; краевой угол смачивания водой  $\theta$ = 135°. При использовании фторированных метакрилатов  $\theta$ = 150°. В пористом материале с использованием стандартной проекционной аппаратуры сформировна «решётка» с минимальной шириной гидрофобного и гидрофильного участков 30 мкм.

#### Список публикаций по теме диссертации

- 1. **Lenshina N.A.** Optically controlled distribution of o-quinonemethacrylate metal complexes in polymer material / M.P.Shurygina, M.V. Arsenyev, Lenshina N.A. A.I. Poddel'sky, S.D. Zaitsev, S.A. Chesnokov, G.A. Abakumov // J. Coord. Chem. 2015. V. 68. I. 23. P. 4159–4169.
- 2. **Lenshina N.A.** Preparation of new dioxygenactive triphenylantimony(V) catecholate-containing porous polymer / S.A. Chesnokov, **N.A. Lenshina**, M.V. Arsenyev, R.S.K ovylin, M.A. Baten'kin, A.I. Poddel'sky, G.A. Abakumov // Appl. Organometal. Chem. DOI: 10.1002/aoc.3553.
- 3. **Леньшина Н.А.** Фотовосстановление *о*-бензохинонового фрагмента в монои полихинометакрилате и на поверхности пор полимерной матицы / **Н.А. Леньшина,** М.П. Шурыгина, М.В. Арсеньев // Химия Высоких Энергий. — 2017. — Т.51. — № 3. — С. 224-229.
- 4. **Леньшина Н.А.** Фотовосстановление 9,10-фенантренхинона в присутствии диметакриловых олигомеров и их полимеров / **Н. А. Леньшина**, М. Ю. Захарина, Р. С. Ковылин, М. А. Батенькин, Т. И. Куликова, М. В. Арсеньев, С. А. Чесноков // Химия Высоких Энергий. − 2018. − T.52. − № 5. − С. 1-6.
- 5. **Леньшина Н.А.** Избирательное введение металлов в полимерную матрицу на основе *о*-хинонметакрилатов / **Н.А. Леньшина,** М.П. Шурыгина // Шестая всероссийская Каргинская конференция «Полимеры 2014». Том ІІ. Сборник тезисов стендовых докладов в 2 частях. Часть первая, Москва. 2014. С. 458.
- 6. **Леньшина Н.А.** Фотовосстановление *о*-хиноновых фрагментов в гомогенных и гетерогенных средах / **Н.А. Леньшина,** М.П. Шурыгина, Арсеньев

- М.В., Чесноков С.А. // Сборник тезисов докладов XIX Нижегородской сессии молодых ученых, Нижний Новгород. 2014. С. 86.
- 7. **Lenshina N.A.** Photoinduced reduction of *o*-benzoquinone fragments in solution, polymer, matrix and in the grafted layer / **N.A. Lenshina**, M.P. Shurygina, R.S. Covylin, M.A. Arsenyev, S.A. Chesnokov // X International Saint-Petersburg Conference of Young Scientists «Modern problems of polymer science». Program and Abstract Book, Saint Petersburg. 2014. C. 79.
- 8. **Леньшина Н.А.** Кислородактивные сурьмусодержащие пористые полимеры / **Н.А. Леньшина**, М.А. Арсеньев, Р.С. Ковылин, С.А. Чесноков // V Международная конференция-школа по химии и физикохимии олигомеров «Олигомеры 2015». Тезисы докладов, Волгоград. 2015. С. 154.
- 9. **Lenshina N.A.** Optically controlled distribution of o-quinonemethacrylate metal complexes in polymer material / **N.A. Lenshina**, M.A. Arsenyev, M.P. Shurygina, Poddel'sky A.I., S.A. Chesnokov // XII International Saint-Petersburg Conference of Young Scientists « Modern problems of polymer science». Program and Abstract Book, Saint Petersburg. 2016. P. 49.
- 10. **Леньшина Н.А.** Фотогидрофобизация пористых полимерных материалов с использованием 9,10-фенантренхинона в качестве фото-активного компонента / **Н.А. Леньшина**, М.А. Арсеньев, Ю.В. Полуштайцев, С.А. Чесноков // Олигомеры-2017: сборник трудов XII Международной конференции по химии и фозикохимии олигомеров. Тезисы докладов. Т.2, Черноголовка. 2017. С. 150.
- 11. **Lenshina N.A.** Photoreduction of 9,10-phenanthrenequinone in the presence of dimethacrylic oligomers and their porous polymers / **N.A. Lenshina,** E.R. Zhiganshina, M.Yu. Zakharina, M.A. Baten'kin, M.V. Arsenyev, S.A. Chesnokov // XIV International Saint-Petersburg Conference of Young Scientists. «Modern problems of polymer science». Program and Abstract Book, Saint Petersburg. 2018. C. 47.